

4

การจำแนกกลุ่มและทางกายภาพของจีนในโครงสร้างของการครึ่งในโครงสร้างของ  
AZOTOBACTER และ AZOSPIRILLUM SPP.

นางสาวยิ่งพิศ ยอดโยธี



วิทยานิพนธ์นี้เป็นส่วนหนึ่งของการศึกษาตามหลักสูตรปริญญาวิทยาศาสตรมหาบัณฑิต  
ภาควิชาชีวเคมี

บัณฑิตวิทยาลัย คุ้มครองการต้มมหาวิทยาลัย

พ.ศ. 2531

ISBN-974-569-099-6

ลิขสิทธิ์ของบัณฑิตวิทยาลัย คุ้มครองการต้มมหาวิทยาลัย

014420

๑๗๘๙๖๐

**PHYSICAL CHARACTERIZATION OF NIF STRUCTURAL GENES IN  
AZOTOBACTER AND AZOSPIRILLUM spp.**

**MISS YINGPIT YODYOTEE**

**A Thesis Submitted in Partial Fulfillment of the Requirements  
for the Degree of Master of Science**

**Department of Biochemistry**

**Graduate School**

**Chulalongkorn University**

**1988**

**ISBN 974-569-099-6**

Thesis Title Physical Characterization of nif Structural  
Genes in Azotobacter and Azospirillum spp.

By Yingpit Yodyotee

Department Biochemistry

Thesis Advisor Assistant Professor Siriporn Sitthipraneed

---

Accepted by the Graduate School, Chulalongkorn University  
in Partial Fulfillment of the Requirements for the Master's  
Degree.

*Thavorn Vajrabhaya* ..... Dean of Graduate School  
(Professor Dr. Thavorn Vajrabhaya)

Thesis Committee

*Jariya Boonjawat* ..... Chairman

(Associate Professor Jariya Boonjawat, Ph.D.)

*Siriporn Sitthipraneed* ..... Member

(Assistant Professor Siriporn Sitthipraneed, Ph.D.)

*P.Thipayathasana* ..... Member

(Associate Professor Pairor Thipayathasana, Ph.D.)

*Preecha Kownin* ..... Member

(Assistant Professor Preecha Kownin, Ph.D.)

Copyright of the Graduate School, Chulalongkorn University



พิมพ์ต้นฉบับบทคัดย่อวิทยานิพนธ์ภายในกรอบสีเขียวนี้เพียงแผ่นเดียว

ยังคง ยอดโดยร์ : การจำแนกลักษณะทางกายภาพของสีนีโครวงล้อร้าวของการตรึงไนโตรเจน  
ของ Azotobacter และ Azospirillum spp. อาจารย์ที่ปรึกษาวิทยานิพนธ์ : ผศ. ดร.  
ศิริพร สิกิริประภัสส์

ความล้ามารاثในการตระหง่านทางชีวภาพของจุลินทรีย์บางชนิด เกิดจากภารกิจงานของเอนไซม์ ในโตรสีเนส ซึ่งอยู่ภายใต้การควบคุมและแลดูของออกซินสินการตระหง่านโตรสีน ความรู้เกี่ยวกับสินการตระหง่านโตรสีนของ Azotobacter และ Azospirillum spp. ยังทราบน้อยมาก ถังนั้นเพื่อเป็นแนวทางในการปรับปรุงถ่ายพันธุ์ของเชื้อตั้งกล่าว ซึ่งศักดิ์แยกจากเดินบอร์เวลล์ต่าง ๆ ของประเทศไทยให้มีประสิทธิภาพในการตระหง่านโตรสีนเพิ่มมากยิ่น จึงได้ศึกษาถึงตำแหน่งและลักษณะทางกายภาพของสินโคโรนส์ร้ายของในโตรสีเนสใน Azotobacter spp. 5 สายเชื้อ (strain) และ Azospirillum spp.

4 សាយម៉ែន

จากการตรวจหาพลาสติกใน Azotobacter spp. 5 สไลช์ และ Azospirillum spp.

4 ล่ายเชื้อ พบว่า Azotobacter spp. ทุกลายเชื้อไม่มีพลาล์มิตอยู่' เลย แต่ใน 3 ล่ายเชื้อของ Azospirillum spp. พบว่ามีพลาล์มิตอยู่' 1 ถึง 4 ชนิด ขนาดตั้งแต่' 9 ถึง 100 กิโลเบล และพบว่าสิน-โครงลรร้างของในโตรสเนลไม่มีบุบพลาล์มิตเหล่านี้ นอกจากนี้ยังพบว่ามีการซ้ำ (reiterated) ของการเรึงตัวของเบลบนโครมโซมากทำให้เห็นความแตกต่างของขนาดขึ้นด้วยเทคนิคด้วยเรลกรอกขึ้น-เอนไซม์ได้ชัดเจน จนคาดว่า'n'จะสามารถแบ่งแยกล่ายเชื้อของ Azotobacter spp. และ Azospirillum spp. ได้จาก restriction endonuclease pattern ของโครมโซ เมื่อนำขึ้นด้วยเงิน เอoma ไบริดิกับ  $^{32}$ P-pSA30 ซึ่งมีสินโครงลรร้างของในโตรสเนลจาก Klebsiella pneumoniae M5a1 ด้วยวิธีของ Southern พบว่า สินโครงลรร้างของในโตรสเนลของเชื้อทั้ง 9 ล่ายพันธุ์ อยู่บุบโครมโซ นอกจากนี้จำนวนและขนาดของขึ้นด้วยเงินเอ็มโซโอลสกิปแตกต่างกันไปในระหว่างล่ายเชื้อ แม้ว่ายู่ในชนิด (species) เดียวกัน จากผลการทดลองแล้วดังให้เห็นว่าการจัดเรียงตัวของสินบนโครมโซจะแตกต่างกัน อย่างสิ้นเชิงในแต่ละล่ายเชื้อ จากการหาศักย (degree) ของเอ็มโซลสี (homology) จะห่วง nif H, nif D และ nif K ของ Klebsiella pneumoniae กับสินโครงลรร้างของในโตรสเนลของ Azotobacter spp. หรือ Azospirillum spp. โดยอาศัยเทคนิค Dot blot hybridization พบว่า สินโครงลรร้างของในโตรสเนลของ Azospirillum spp. จะมีเอ็มโซลสีเฉพาะกับ nif H และ nif D ของ Klebsiella pneumoniae ส่วนใน Azotobacter spp. พบว่ามีเอ็มโซลสีทั้ง nif H, nif D และ nif K

ภาควิชา ..... ชีวเคมี  
สาขาวิชา ..... ชีวเคมี  
ปีการศึกษา ..... 2530

ลายมือชื่อนิติ Som Sooley  
ลายมือชื่ออาจารย์ที่ปรึกษา ดร. สมเด็จ พานิช

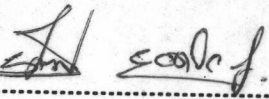
# พิมพ์ตีนฉบับปกด้วยวิทยานิพนธ์ภายในกรอบสีเขียวเพียงแผ่นเดียว

YINGPIT YODYOTEE : PHYSICAL CHARACTERIZATION OF NIF STRUCTURAL GENES IN AZOTOBACTER AND AZOSPIRILLUM spp. THESIS ADVISOR : ASSO. PROF. SIRIPORN SITTIPRANEED

The ability to fix atmospheric nitrogen of some microorganism was involved with the nitrogenase and the genetic expression of nitrogen fixation genes. A little knowledge on the nitrogen fixation genes of Azotobacter and Azospirillum is known. So, as a fundamental research for genetic improvement of nitrogen fixing bacteria which was isolated from Thai source, localization and physical characterization of nitrogenase structural genes were studies in five strains of Azotobacter and four strains of Azospirillum spp.

No plasmid was detected in all strains of Azotobacter spp. Whereas one to four molecular species of plasmid ranging approximately from 9 to 100 Kb in size were detected in three strains of Azospirillum spp., and these plasmids did not carry nitrogenase structural genes. Restriction endonuclease patterns showed discrete bands and reproducible differences among the species and strains of Azotobacter and Azospirillum. This result indicated that very high reiterated sequences were found in the chromosome of Azotobacter and Azospirillum spp. Thus, we suggested that the restriction endonuclease patterns may be used to identify the strains of Azotobacter and Azospirillum spp. Southern blot hybridization between  $^{32}\text{p}$ -pSA30 which carrying nitrogenase structural genes of Klebsiella pneumoniae M5al and restriction fragments of Azotobacter or Azospirillum chromosome showed that nitrogenase structural genes of the nine strains located on their chromosomes, Moreover, the hybridization patterns showed many differences among all strains examined. This preliminary study illustrated that the organization of nitrogenase structural genes were differences among these strains. Degree of homology was detected between nif H, nif D and nif K of Klebsiella pneumoniae and nitrogenase structural genes of Azotobacter or Azospirillum by Dot blot hybridization techniques. The homology was found limited only to nif H and nif D of Azospirillum DNA whereas the homology was observed with nif H, nif D and also nif K in all strains of Azotobacter spp.

ภาควิชา ..... ชีวเคมี .....  
สาขาวิชา ..... ชีวเคมี .....  
ปัจจุบันศึกษา ..... 2530 .....

ลายมือชื่อนักศึกษา .....   
ลายมือชื่ออาจารย์ที่ปรึกษา ..... 

## ACKNOWLEDGEMENT

I would like to express my sincere and deepest gratitude to my advisor, Dr. Siriporn Sittipraneed, for her conscientious supervision, guidance and encouragements throughout this work. Without her kindness and understanding, this work would not be accomplished.

I am very grateful to Dr. Pairoi Thippayathasana serving as copreceptor, for her invaluable criticisms and valuable advice. Without her help, my study could not be accomplished.

Very deep thanks are expressed to the members of advisory committee, Dr. Jariya Boonjawat, Dr. Pairoi Thaipayathasana and Dr. Preecha Kownin, for their extensive counsel about the work in this study.

I am particularly grateful to all fellows in the Department of Biochemistry, Faculty of Science who courteously assisted and provided not only facilities but also materials.

I am much indebted to Dr. Sakol Panyim and Miss Sumalee Tung-pradabkul of Department of Biochemistry, Faculty of Science at Mahidol University for providing some laboratory facilities and invaluable suggestions.

I am also indebted to the "Unit cell of genetic engineering" for supporting all necessary facilities throughout this work.

Special thanks are given to every member in the laboratory for their friendly collaboration, kindness, valuable suggestions, discussion and criticisms.

I wish to express my infinite thanks to my parents and everyone in my family for their unlimited love, kindness, support and understanding throughout my life.

Finally, I am very grateful to "Grant of Faculty of Science",  
"Rachadaphisakesopod Grant" and the Graduate School, Chulalongkorn  
University for their funding supports.



## TABLE OF CONTENTS

	Page
ABSTRACT IN THAI	IV
ABSTRACT IN ENGLISH	V
ACKNOWLEDGEMENT	VI
LIST OF TABLES	IX
LIST OF FIGURERS	X
ABBREVIATIONS	XV
CHAPTER	
I    INTRODUCTION	1
II   MATERIALS AND METHODS	17
III  RESULTS	44
IV   DISCUSSION	101
SUMMARY	115
REFERENCES	116
APPENDIX	127
BIOGRAPHY	130

## LIST OF TABLES

table	page
1 The products and functions of the <u>nif</u> genes of <u>Klebsiella pneumoniae</u> M5a1.	10
2 Bacterial strains	18
3 Examples of type II restriction endonucleases	28
4 The growth properties of <u>Azotobacter</u> spp.	46
5 The growth properties of <u>Azospirillum</u> spp.	47
6 Plasmids in <u>Azotobacter</u> spp. and <u>Azospirillum</u> spp. : number and sizes.	54
7 Restriction analysis of <u>nif</u> structural genes of <u>Azotobacter</u> spp. and <u>Azospirillum</u> spp. by Southern hybridization when use <u>nif</u> structural genes of <u>Klebsiella pneumoniae</u> on pSA30 as a hybridization probe.	89
8 The relation homology of <u>nif</u> structural genes of <u>Azotobacter pneumoniae</u> and <u>Azotobacter</u> spp. or <u>Azospirillum</u> spp.	99
9 The relative homology of <u>nif</u> structural genes fragments between <u>Klebsiella pneumoniae</u> and <u>Azotobacter</u> spp. or <u>Azospirillum</u> spp. ( in $1 \times 10^8$ $\mu\text{g}$ of probe per Kb of genome)	100

## LIST OF FIGURES

Figure	Page
1. The <u>nif</u> gene cluster of <i>Klebsiella pneumoniae</i> M5a1	9
2. Physical map of pSA30	11
3. Restriction map of pSA30 and <u>nif</u> structural genes fragments	34
4. Ethidium bromide staining patterns of plasmid profiles of five strains of <u>Azotobacter</u> and four strains of <u>Azospirillum</u> by Modified Eckhardt lysate electrophoresis.	49
5. Ethidium bromide staining patterns of plasmid profile extracted from various species and strains of <u>Azotobacter</u> and <u>Azospirillum</u> which were prepared by method of Hansen and Olsen.	52
6. Ethidium bromide staining patterns of plasmid profile extracted from various species and strains of <u>Azotobacter</u> by rapid alkaline extraction procedure.	53
7. Ethidium bromide staining patterns of extracted chromosomal DNA from various species and strains of <u>Azotobacter</u> and <u>Azospirillum</u> .	57
8. Ethidium bromide staining patterns of chromosomal DNA digested with restriction endonuclease on agarose gel.	58
9. Ethidium bromide staining patterns of Sma I digested fragments of chromosomal DNA from five strains of <u>Azotobacter</u> and four strains of <u>Azospirillum</u> .	59
10. Ethidium bromide staining patterns of Bgl II digested frag- ments of chromosomal DNA from five strains of <u>Azotobacter</u> and four strains of <u>Azospirillum</u> .	60

## LIST OF FIGURES (CONT.)

Figure	Page
11. Ethidium bromide staining patterns of EcoRI digested fragments of chromosomal DNA from <u>Azotobacter spp.</u> and <u>Azospirillum spp.</u>	61
12. Ethidium bromide staining patterns of Pst I digested fragments of chromosomal DNA from five strains of <u>Azotobacter</u> on agarose gel.	62
13. Ethidium bromide staining patterns of Pst I digested fragments of chromosomal DNA from four strains of <u>Azospirillum</u> on agarose gel.	63
14. Ethidium bromide staining patterns of Bam HI digested fragments of chromosomal DNA from five strains of <u>Azotobacter</u> .	64
15. Ethidium bromide staining patterns of restriction endo - nuclease digested fragments of chromosomal DNA from four strains of <u>Azospirillum</u> on agarose gel.	65
16. Ethidium bromide staining patterns of Hind III digested fragments of chromosomal DNA from five strains of <u>Azotobacter</u> on agarose gel.	66
17. Ethidium bromide staining patterns of Hae III digested fragments of chromosomal DNA from <u>Azotobacter spp.</u> and <u>Azospirillum spp.</u>	67
18. Ethidium bromide staining patterns of pSA30 plasmid extracted by rapid alkaline extraction procedure.	69

## LIST OF FIGURES (CONT.)

Figure	Page
19. Ethidium bromide staining patterns of the plasmid and the restriction fragments on agarose gel.	70
20. Ethidium bromide staining patterns of crude and purified supercoiled pSA30 plasmid on agarose gel.	72
21. Ethidium bromide staining pattern of pACYC184 fragments.	73
22. Ethidium bromide staining patterns of plasmid and purified <u>nif</u> fragments on agarose gel.	74
23. The kinetics of nick translation reaction.	76
24. The electrophoretic mobility of $^{32}\text{P}$ -labelled pSA30 and native pSA30 on agarose gel.	77
25. Ethidium bromide staining pattern of sheared calf thymus DNA on agarose gel.	80
26. A : Ethidium bromide staining pattern of plasmid on agarose gel. B : Autoradiograph of the nitrocellulose filter containing plasmids of <u>Azospirillum</u> after hybridized with $^{32}\text{P}$ -labelled pSA30	81
27. Autoradiograph of nitrocellulose filter containing the Sma I digested fragments of various species and strains of <u>Azotobacter</u> and <u>Azospirillum</u> after hybridized with $^{32}\text{P}$ -labelled pSA30.	83
28. Autoradiograph of nitrocellulose filter containing the Bgl II digested fragments of various species and strains of <u>Azotobacter</u> and <u>Azospirillum</u> after hybridized with $^{32}\text{P}$ -labelled pSA30.	84

## LIST OF FIGURES (CONT.)

Figure	Page
29. Autoradiograph of the nitrocellulose filter containing the EcoRI-digested fragments of various species and strains of <u>Azotobacter</u> and <u>Azospirillum</u> after hybridized with $^{32}\text{P}$ -labelled pSA30.	85
30. A : Ethidium bromide staining pattern of restriction fragments of chromosomal DNA from <u>Azotobacter</u> . B : Autoradiograph of the nitrocellulose filter containing the restriction fragments of chromosomal DNA after hybridized with $^{32}\text{P}$ -labelled pSA30.	86
31. A : Ethidium bromide staining pattern of restriction fragments of chromosomal DNA from <u>Azospirillum</u> . B : Autoradiograph of the nitrocellulose filter containing the restriction fragments of chromosomal DNA after hybridized with $^{32}\text{P}$ -labelled pSA30.	87
32. A : Ethidium bromide staining pattern of Pst I digested fragments of chromosomal DNA from <u>Azospirillum</u> . B : Autoradiograph of the nitrocellulose filter containing the restriction fragments of chromosomal DNA after hybridized with $^{32}\text{P}$ -labelled pSA30.	88
33. Autoradiograph of dot blot filter containing chromosomal DNA of <u>Azotobacter</u> , <u>Azospirillum</u> and pSA30 after hybridized with $^{32}\text{P}$ -labelled pACYC184 fragments.	94
34. Autoradiographs of dot blot filter containing chromosomal DNA of <u>Azotobacter</u> and <u>Azospirillum</u> after hybridized with $^{32}\text{P}$ -labelled <u>nif</u> fragment A1, <u>nif</u> fragment A2, <u>nif</u> fragment A3.	95

## LIST OF FIGURES (CONT.)

Figure	Page
35. Kinetics of dot blot hybridization of chromosomal DNA of <u>Azotobacter spp.</u> or <u>Azospirillum spp.</u> with $^{32}\text{P}$ -labelled <u>nif</u> fragment A1 (part of <u>nif K</u> ).	96
36. Kinetics of dot blot hybridization of chromosomal DNA of <u>Azotobacter spp.</u> or <u>Azospirillum spp.</u> with $^{32}\text{P}$ -labelled <u>nif</u> fragment A2 (part of <u>nif D</u> ).	97
37. Kinetics of dot blot hybridization of chromosomal DNA of <u>Azotobacter spp.</u> and <u>Azospirillum spp.</u> with $^{32}\text{P}$ -labelled <u>nif</u> fragment A3 ( <u>nif H</u> and part of <u>nif D</u> ).	98

## ABREVIATIONS

$\mu\text{l}$	=	microliter ( $10^{-6}$ lit = $10^{-3}$ ml)
ml	=	milliliter ( $10^{-3}$ l)
l	=	Liter
pg	=	picogram ( $10^{-12}$ gm)
ng	=	nanogram ( $10^{-9}$ gm)
$\mu\text{g}$	=	microgram ( $10^{-6}$ gm)
mg	=	milligram ( $10^{-3}$ gm)
gm	=	gram
min	=	minute
h	=	hour
in	=	inch
rpm	=	revoltion per minute
$\mu\text{M}$	=	micromolar ( $10^{-6}$ M)
mM	=	millimolar ( $10^{-3}$ M)
M	=	molar
N	=	normal
nm	=	nanometer
$\mu\text{ci}$	=	microcurie ( $10^{-6}$ ci).
mci	=	millicurie ( $10^{-3}$ ci)
ci	=	curie
kb/kb	=	kilobasepair
U	=	unit
$^{\circ}\text{C}$	=	degree celcius
w/v	=	weight per volume

no.	=	number
dATP	=	deoxyadenosine 5'-triphosphate
dCTP	=	deoxycytosine 5'-triphosphate
dGTP	=	deoxyquanosine 5'-triphosphate
dTTP	=	deoxythymidine 5'-triphosphate
dNTP	=	deoxyribonucleotide triphosphate
DNA	=	deoxyribonucleic acid
DNase I	=	deoxyribonuclease I
RNA	=	ribonucleic acid
RNase	=	ribonuclease
EDTA	=	ethylene diamine tetraacetic acid
DTT	=	dithiothreitol
LB	=	Luria-Bertani media
RM	=	Rich media
SDS	=	sodium dodecyl sulfate
SSC(1X)	=	0.15 M sodium chloride, 0.015 M sodium citrate, pH 7.0
TCA	=	trichloroacetic acid
Tris	=	Tris (hydroxymethyl) aminomethane
nif	=	nitrogenase genes